



تحلیل عددی میدان جریان در پرتاب کننده های جامی مرکب

امید امین الرعایایی یمینی^{۱*}، محمدرضا کاویانپور^۲

۱-دانشجوی دکتری مهندسی عمران آب - هیدرولیک، دانشگاه صنعتی خواجه نصیرالدین طوسی

۲-دانشیار گروه مهندسی آب - هیدرولیک، دانشگاه صنعتی خواجه نصیرالدین طوسی

O.aminoroaya@mail.kntu.ac.ir

ارسال: آبان ماه ۹۵ پذیرش: دی ماه ۹۵

خلاصه

پرتاب کننده های جامی اغلب در انتهای سرربزه های شوت به منظور استهلاک انرژی و هدایت جریان به حوضچه های استغراق و به ویژه در سدهای بلند مورد استفاده قرار می گیرند. جام های مرکب نیز طرح خاصی از این پرتاب کننده ها می باشند که دارای یک شبیع عرضی در بستر جام هستند و با انحنایی در پلان جام ترکیب می شوند. در این مطالعه به منظور بررسی عددی میدان جریان بر روی پرتاب کننده های جامی مرکب از مدل عددی Flow-3D (ver.9/3) استفاده شده است. برای مدل سازی مدل هیدرولیکی سرربز آزاد در مدل عددی Flow-3D، کل بدنه صلب سرربز به صورت سه بعدی در نرم افزار SolidWorks 2011 ساخته شد و با فرمت *.stl* به مدل عددی Flow-3D معرفی گردید. میدان جریان با دبی های مختلف سیلانی در محدوده اعداد فرود ۳/۵ تا ۷/۵ در مدل عددی Flow-3D با نتایج آزمایشگاهی مدل مشابه مورد بررسی قرار می گیرد. در مدل عددی مورد مطالعه پس از بررسی چند مدل، زمان مناسب برای استخراج نتایج از مدل معادل ۷۰ ثانیه مدنظر قرار گرفت. برای حصول بهترین پاسخ از مدل عددی Flow-3D و مقایسه گرینه های ممکن، شرایط مرزی و اولیه مناسب و نیز حساسیت سنجی مدل نسبت به پارامترهای گوناگون موثر در مدل سازی، آزمون های گوناگون صورت گرفت. حساسیت مدل های عددی به شبکه بندی و انفصال میدان حل همواره یکی از مسائل مهم در مدل های عددی بوده است. در این مطالعه شبکه بندی های مختلف به صورت تک بلوکی و دو بلوکی در آزمون های مختلف مورد بررسی قرار گرفت و بهترین شبکه بندی برای آزمون های بعدی انتخاب شده است. در مجموع با تحلیل و بررسی مدل های شبیه سازی شده توسط مدل عددی Flow-3D و مقایسه نتایج آنها با نتایج مدل آزمایشگاهی به ازای هر سه پارامتر هیدرولیکی توزیع فشار بر روی بستر، سرعت و عمق متوسط جریان و با توجه به مدت زمان شبیه سازی ها و دقت نتایج حاصل از آنها، می توان مناسب ترین و کالیبره ترین مدل جهت شبیه سازی پرتاب کننده های جامی مرکب دانست. دستیابی به چنین مدل کالیبره شده ای می تواند به منظور بررسی تغییرات پارامترهای هندسی جام های مرکب (انحنای جام، شبیع عرضی بستر، ارتفاع لبه ای جام و...) در تحقیقات آتی مورد استفاده قرار گیرد.

کلمات کلیدی: پرتاب کننده های جامی مرکب، میدان جریان، توزیع فشار، مدل عددی Flow-3D

. ۱ مقدمه

در سازه های تخلیه سیلان سدهای بزرگ لزوم استفاده از سیستم های استهلاک انرژی جریان بیش از پیش مورد توجه قرار می گیرد. در سال های اخیر با افزایش روند رشد احداث سدهای بلند و بالا رفتن استاندارد اینمنی سدها، علاقه عمومی مهندسین هیدرولیک نسبت به طراحی یک سیستم استهلاک انرژی اقتصادی و مطمئن، افزایش یافته است. مسائل مختلف ایجاد شده در طراحی مستهلاک کننده های انرژی موجب شده تا یک طرح اقتصادی و نسبتاً مطمئن و سازگار با شرایط موجود مورد توجه قرار گیرد. پرتاب کننده های جامی مرکب از جمله پرتاب کننده های خاص بوده که دارای یک انحنای محوری در کنار انحنای طولی می باشند. این ویژگی، جریان

حاکم بر این سازه‌ها را از ویژگی خاص برخوردار نموده و جریان را به دلیل دارا بودن دو انحنای طولی و عرضی با پیچیدگی بیشتر همراه می‌سازد. کاربرد این سازه در شرایط و محدودیت‌های خاص توپوگرافی و لزوم دور نمودن جت برخورده به پائین دست به یکی از جهات دور از تکیه گاه چپ یا راست، حائز اهمیت می‌سازد. به عنوان مثال در سد گتوند علیا، راستای قرارگیری سریز روی سد با محدودیت خاص همراه بوده و لذا جت خروجی از پرتاب کننده جامی انتهائی با برخورد به تکیه گاه چپ اینمی سازه سد را مختل می‌نمود. بنابراین لزوم انحراف جت با تعبیه قوس محوری متمایل به سمت راست سد بر روی پرتاب کننده اجتناب ناپذیر می‌باشد. این شرایط بر عملکرد هیدرولیکی جریان روی سد پرتاب کننده‌ها و لزوم توجه به آن تأکید نموده و شروعی بر این تحقیق بود که در ادامه، محدودیت اطلاعات و تحقیقات انجام گرفته بر روی این سازه‌ها با بررسی‌های کتابخانه‌ای مشخص گردید و تحقیق سامان یافته حاضر را شکل داد.

برای طراحی پرتاب کننده‌های جامی معیارهای هیدرولیکی وجود دارند که اهم آنها عبارتند از: فشار بر روی سطح جام و دیواره‌های کناری، ویژگی‌های مسیر حرکت پرتابه، اثرات استغراق لب جام در پایاب (جام‌های مستغرق) و فرسایش و آبشتستگی بستر رودخانه (Khatsuria, 2005). تعیین فشار بر روی سطح جام و دیواره‌های کناری و همچنین ویژگی‌های مسیر حرکت جت پرتابی از مهم‌ترین پارامترهایی هستند که به منظور طراحی جام مدنظر قرار می‌گیرند. بعلاوه تعیین مشخصات مطلوب هندسی از لحاظ اقتصادی و بهینه بودن طرح و شکل جام نیز می‌تواند کمک کند. سایر مشخصات هیدرولیکی همانند اثرات استغراق لب جام در پایاب و همچنین فرسایش و آبشتستگی بستر رودخانه در این مطالعه مورد بررسی قرار نگرفته و برای مطالعه بیشتر به منابع موجود در این زمینه مراجعه گردد.

پژوهشی در مورد زاویه بهینه پرتابه روی پرتاب کننده‌های جامی شکل انتهای سریز ارائه نمودند. تأثیر پایین این زاویه روی آبشتستگی دست سریز بوده که در نهایت زاویه ۴۵ درجه به عنوان زاویه بهینه گزارش شد. امیر ارسلانی و همکاران (۱۳۸۷) توسط مدل عددی Flow-3D Flow-3D الگوی جریان روی پرتاب کننده را مدل نموده و طرح خود را برای آبشتستگی بعد از پرتاب کننده جامی مورد شیوه سازی عددی قرار دادند. در این طرح برای مدل کردن آشفتگی جریان از مدل k-E استاندارد استفاده شد.

اکبری و همکاران (۱۳۹۰) با استفاده از مدل عددی Flow-3D و مدل آشفتگی RNG جریان بر روی پرتاب کننده‌های جامی را مدل نمودند. نتایج آنها نشان داد که روش‌های عددی با دقت مناسبی می‌تواند جریان بر روی پرتاب کننده‌های جامی را شبیه سازی نماید به طوری که بیشترین خطای حدود ۱۵/۷٪ در سرعت و حدود ۶/۷٪ خطای فشار می‌باشد. بیشترین درصد خطای میانگین نیز برای فشار و سرعت در حدود ۷/۶٪ و ۴/۸۳٪ می‌باشد. میانتور و همکاران (۱۳۹۰) با استفاده از مدل عددی Fluent مطالعه عددی مستهلك کننده‌های پرش اسکی را با مدل‌های چند فازی مختلف از قبیل مدل VOF، Mixture و مدل آشفتگی استاندارد K-E شبیه سازی نمودند. نتایج بدست آمده از روش VOF با نتایج آزمایشگاهی تطابق بهتری داشت. همچنین زمان اجرای روش VOF در مقایسه با مدل Mixture کمتر می‌باشد.

۲. شبیه سازی مدل عددی و معادلات حاکم بر جریان

مدل عددی FLOW-3D یک مدل مناسب برای مسائل پیچیده سیالات می‌باشد، که دارای بازه کاربرد وسیعی می‌باشد. این برنامه برای جریان‌های سه بعدی غیر ماندگار که دارای سطح آزاد و هندسه پیچیده هستند کاربرد دارد. در این نرم‌افزار از روش حجم محدود در شبکه‌بندی منظم مستطیلی استفاده می‌شود. به لحاظ استفاده از روش حجم محدود در یک شبکه منظم، شکل معادلات گسته شده مورد استفاده نظری معادلات گسته شده در روش تفاضل محدود می‌باشد. بر این اساس FLOW-3D از روش‌های دقت مرتبه اول و دوم در حل معادلات بهره می‌برد. همچنین این مدل عددی از پنج مدل آشفتگی نظری مدل‌های k-E, RNG و ... استفاده می‌کند. در مدل عددی FLOW-3D از دو تکنیک عددی برای شبیه سازی هندسی استفاده شده است: روش حجم سیال^۱ (VOF): این روش برای نشان دادن رفتار سیال در سطح آزاد مورد استفاده قرار می‌گیرد. روش کسر مساحت - حجم مانع^۲ (FAVOR): برای شبیه سازی سطوح و احجام صلب مثل مرزهای هندسی کاربرد دارد. بنابراین معادلات اساسی مومنت (RANS) و پیوستگی برای یک سیال غیرقابل تراکم که شامل متغیرهای FAVOR نیز می‌باشد به صورت زیر بیان می‌شود:

¹ Volume of Fluid

² Fractional Area-Volume Obstacle Representation

معادله پیوستگی: معادله پیوستگی جریان از قانون بقای جرم و با نوشتن رابطه تعادل برای یک المان سیال به دست می‌آید. معادله عمومی پیوستگی به شکل زیر است:

$$V_f \frac{\partial \rho}{\partial t} + \frac{\partial}{\partial x} (\rho u A_x) + \frac{\partial}{\partial y} (\rho v A_y) + \frac{\partial}{\partial z} (\rho w A_z) = 0 \quad (1)$$

که در آن V_f کسر حجم باز به جریان، ρ چگالی سیال است. مولفه‌های سرعت (u, v, w) در جهات (x, y, z) می‌باشند. A_x کسر سطح باز در جهت x است، A_y و A_z به طور مشابه کسر سطح در جهات y و z می‌باشند.

معادلات اندازه حرکت: معادلات حرکت سیال با مولفه‌های سرعت (u, v, w) در سه جهت مختصات، یعنی معادلات ناویر-

استوکس به شکل زیر هستند:

$$\begin{aligned} \frac{\partial u}{\partial t} + \frac{1}{V_F} \left(u A_x \frac{\partial u}{\partial x} + v A_y \frac{\partial u}{\partial y} + w A_z \frac{\partial u}{\partial z} \right) &= -\frac{1}{\rho} \frac{\partial p}{\partial x} + G_x + f_x \\ \frac{\partial v}{\partial t} + \frac{1}{V_F} \left(u A_x \frac{\partial v}{\partial x} + v A_y \frac{\partial v}{\partial y} + w A_z \frac{\partial v}{\partial z} \right) &= -\frac{1}{\rho} \frac{\partial p}{\partial y} + G_y + f_y \\ \frac{\partial w}{\partial t} + \frac{1}{V_F} \left(u A_x \frac{\partial w}{\partial x} + v A_y \frac{\partial w}{\partial y} + w A_z \frac{\partial w}{\partial z} \right) &= -\frac{1}{\rho} \frac{\partial p}{\partial z} + G_z + f_z \end{aligned} \quad (2)$$

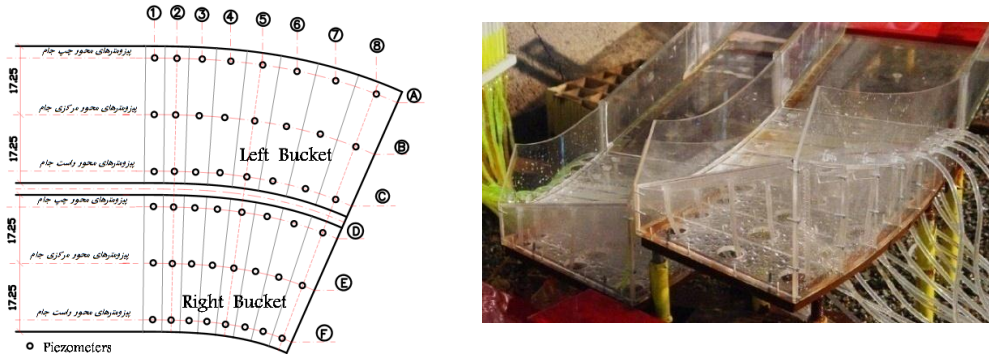
در این معادلات (G_x, G_y, G_z) شتاب‌های جرم، (f_x, f_y, f_z) شتاب‌های لزجت است. شتاب‌های لزجی به شکل معادلات زیر هستند:

$$\begin{aligned} \rho V_F f_x &= wsx - \left\{ \frac{\partial}{\partial x} (A_x \tau_{xx}) + \frac{\partial}{\partial y} (A_y \tau_{xy}) + \frac{\partial}{\partial z} (A_z \tau_{xz}) \right\} & \tau_{xx} &= -2\mu \left\{ \frac{\partial u}{\partial x} - \frac{1}{3} \left(\frac{\partial u}{\partial x} + \frac{\partial v}{\partial y} + \frac{\partial w}{\partial z} \right) \right\} & \tau_{xy} &= -\mu \left\{ \frac{\partial v}{\partial y} + \frac{\partial u}{\partial x} \right\} \\ \rho V_F f_y &= wsy - \left\{ \frac{\partial}{\partial x} (A_x \tau_{xy}) + \frac{\partial}{\partial y} (A_y \tau_{yy}) + \frac{\partial}{\partial z} (A_z \tau_{yz}) \right\} & \tau_{yy} &= -2\mu \left\{ \frac{\partial v}{\partial y} - \frac{1}{3} \left(\frac{\partial u}{\partial x} + \frac{\partial v}{\partial y} + \frac{\partial w}{\partial z} \right) \right\} & \tau_{xz} &= -\mu \left\{ \frac{\partial u}{\partial z} + \frac{\partial w}{\partial x} \right\} \\ \rho V_F f_z &= wsz - \left\{ \frac{\partial}{\partial x} (A_x \tau_{xz}) + \frac{\partial}{\partial y} (A_y \tau_{yz}) + \frac{\partial}{\partial z} (A_z \tau_{zz}) \right\} & \tau_{zz} &= -2\mu \left\{ \frac{\partial w}{\partial z} - \frac{1}{3} \left(\frac{\partial u}{\partial x} + \frac{\partial v}{\partial y} + \frac{\partial w}{\partial z} \right) \right\} & \tau_{yz} &= -\mu \left\{ \frac{\partial v}{\partial z} + \frac{\partial w}{\partial y} \right\} \end{aligned} \quad (3)$$

در معادلات فوق جملات wsx , wsy و wsz بیانگر تنش‌های برشی دیواره‌ها بوده و f لزجت دینامیکی می‌باشد. اگر این جملات حذف شوند، دیگر تنش برشی دیواره‌ای نخواهیم داشت زیرا جملات باقیمانده شامل کسر مساحت‌های جریان (A_x, A_y, A_z) می‌شوند که در آن‌ها دیواره‌ها در نظر گرفته نشده‌اند. تنش‌های روی دیواره‌ها به وسیله فرض سرعت مماسی صفر در قسمتی از سطح محدود به جریان شیوه‌سازی می‌شوند. شبکه و مرزهای موانع متحرک جزء موارد استثنای هستند زیرا در آن‌ها سرعت مماسی غیر صفر است.

۳. مشخصات مدل هیدرولیکی و مدل عددی

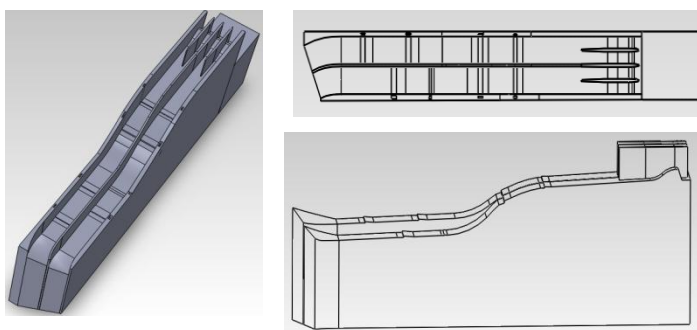
این مطالعه بر روی دو مدل هیدرولیکی مختلف از پرتاب کننده‌های جامی مرکب که در سرریز سد گتوند ساخته شده است انجام می‌گیرد. مدل هیدرولیکی سرریز سد گتوند در موسسه تحقیقات آب وزارت نیرو طراحی و ساخته شده است که پرتاب کننده‌های جامی مرکب، در انتهای مجرای تندآب سرریز قرار دارند. کانال‌های ورودی متنه‌ی به این پرتاب کننده‌ها دارای مقاطع مستطیلی شکل و تراز بستر مجرای سمت راست نسبت به تراز مجرای سمت چپ پایین‌تر می‌باشد. شبک کانال‌های ورودی به این پرتاب کننده‌ها حدود ۲/۵٪ و طول افقی این کانال تقریباً ۲ متر می‌باشد. شبک عرضی بستر جام در این پرتاب کننده‌ها در مقطع عرضی برای هر کدام از جام متفاوت است و هر دو جام دارای یک انحنای محوری در پلان می‌باشند که محور پرتاب کننده‌ها را تحت زاویه ۲۴° درجه به سمت راست تغییر می‌دهد. تندآب‌های متنه‌ی به پرتاب کننده‌ها دارای دو مجرای به عرض خالص ۳۴/۵ سانتی‌متر می‌باشد که پس از یک تندآب با شبک زیاد قرار دارند. تندآب‌ها، کانال ورودی، پرتاب کننده‌های جامی مرکب و دیواره‌های جانبی از جنس ورق پلاکسی گلاس شفاف ساخته و در مدل نصب گردیده‌اند. ارتفاع دیواره‌های جانبی پرتاب کننده‌ها و کانال ورودی به ارتفاع ۱۲ سانتی‌متر در نظر گرفته شده‌اند. شکل (۱) در سمت چپ مشخصات هندسی جام‌ها و در سمت راست نیز ساختار مدل هیدرولیکی پرتاب کننده‌های جامی مرکب را نمایش می‌دهد.



شکل ۱- مدل هیدرولیکی پرتاب کننده‌های جامی مرکب (شکل سمت راست) به همراه مشخصات هندسی آنها (شکل سمت چپ)

همانطور که در شکل (۱) نیز نمایان است شب عرضی بستر جام‌ها در محورهای کنار جداره و در محور مرکزی، در هر کدام از جام‌ها متفاوت می‌باشد و هندسه جام‌های چپ و راست با یکدیگر متفاوت هستند. برداشت پارامترهای هیدرولیکی مورد نیاز در دبی‌های مختلف و قابل کنترل انجام گرفته است و لذا سرعت‌های میانگین و عمق جریان (h_0) در محدوده‌ای از اعداد فرود به صورت مستقل تغییر می‌یابد. محدوده‌ی تغییرات اعداد فرود به ازای دبی‌های ۲۰ تا ۱۷۰ Lit/s برابر $7/5$ تا $3/5$ می‌باشد که به ازای این اعداد فرود پارامترهای میدان جریان در بستر پرتاب کننده‌های جامی برداشت گردید. در بستر هر دو پرتاب کننده در دو موقعیت عرضی نزدیک دیواره‌های جانبی و در وسط جام به صورت راستای طولی قبل از ورود به جام تا لبه جام پیزومترهای برداشت فشار نصب گردیده‌اند.

برای مدل سازی مدل هیدرولیکی سرریز آزاد در مدل عددی Flow-3D، کل بدنه صلب سرریز به صورت سه بعدی (شامل بخشی از مخزن، سرریز، پایه‌های دریچه، تندآب، سیستم‌های هوادهی بر روی تندآب و نیز پرتاب کننده‌های جامی مرکب) در نرم افزار 2011 SolidWorks ساخته شد و با فرمت *.stl به مدل عددی Flow-3D معرفی گردید. دلیل استفاده از نرم افزار SolidWorks 2011 پیچیدگی هندسی پرتاب کننده‌های جامی مرکب می‌باشد. همانگونه که در بخش‌های قبلی نیز ذکر شد جام‌های مرکب دارای یک انحنای محوری می‌باشند که با یک شب عرضی در بستر جام ترکیب می‌شوند از این‌رو ساخت کل بدنه صلب جام‌های مرکب توسط نرم افزارهای ساده ترسیم اشکال سه بعدی به سادگی امکان پذیر نیست و مستلزم استفاده از یک نرم افزار پیشرفته ترسیم اشکال سه بعدی همانند نرم افزار 2011 SolidWorks می‌باشد. بعد از مدل سه بعدی ساخته شده دقیقاً مطابق با مدل هیدرولیکی موجود در آزمایشگاه می‌باشد. شکل (۲) نماهای مختلفی از مدل هیدرولیکی را در محیط SolidWorks 2011 نمایش می‌دهد.



شکل ۲- نمایی از مدل هیدرولیکی شبیه سازی شده توسط SolidWorks 2011

در تمامی شبیه سازی‌های صورت گرفته در این تحقیق میدان جریان سه بعدی به وسیله مدل آشفتگی RNG حل شده است. دلیل استفاده از این مدل آشفتگی را می‌توان در ویژگی‌های و مزیت آن نسبت به مدل‌هایی چون k-E دانست. این مدل به

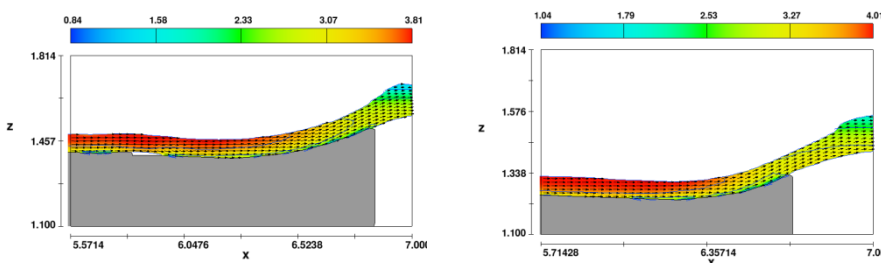
واسطه داشتن ترم اضافی در معادله ۶ برای تحلیل جریانات سریعاً کرنش یافته و جریانات بر روی سطوح با انحنای زیاد بهبود یافته است و این مدل در شبیه سازی جریانات گذرا توان بالای دارد (Yakhot et al., 1992). همچنین به استناد مقایسه ای که صباح یزدی و همکاران (۱۳۸۷) بین مدل های آشفتگی با استفاده از مدل عددی Flow-3D انجام داده بود و مدل آشفتگی RNG نتایج دقیق تری نسبت به سایر مدل های آشفتگی داشتند، از مدل آشفتگی RNG استفاده گردید. سیال غیر لزج، تراکم ناپذیر و ورود هوا با چگالی $1/2 \text{ kg/m}^3$ و ضریب تنفس برشی $0/073$ در نظر گرفته شد.

اولین گام در یک مدل عددی کالیبره کردن مدل می باشد. بدین معنی که تاثیرات عوامل خارجی را به حداقل رسانده و شرایط مدل را به شرایط واقعی نزدیک تر کرد. در این مدل عددی زمان مناسب برای استخراج نتایج ۷۰ ثانیه مدت نظر قرار گرفت. شرایط مختلف مرزبندی به ازای مناسب ترین طول مخزن آب پشت سرریز به طول ۱ متر در آزمون های مختلف بررسی شد. در آزمون ها، شرایط مختلف مرزبندی شبکه سلول محاسباتی به صورت مرز ورودی با حالات Specified pressure و دبی عمق جریان و.....، مرز خروجی Out flow و دیواره های جانبی شبکه سلول های محاسباتی در حالت wall و symmetry و سقف شبکه سلول های محاسباتی به ترتیب، wall و symmetry در نظر گرفته شد.

برای بررسی خطای نتایج مدل شبیه سازی شده با داده های آزمایشگاهی ۸ آزمون متنوع به ازای سه دبی ۱۰۰، ۳۰ و ۱۷۰ Lit/s (انجام گردید). در این آزمون ها از مدل کامل سرریز شامل بدن، پایه های جدا کننده دریچه ها و دیواره های جانبی سرریز با داکت هوا رسان جهت شبیه سازی استفاده گردید تا اختلاف اجزای گوناگون مدل، نتایج پارامترهای هیدرولیکی مورد سنجش را تحت تاثیر قرار ندهد. به منظور استخراج دقیق پارامترهای مختلف مورد بررسی در محل های مورد نظر از نرم افزار Tecplot 360 2009 استفاده گردید. در آزمون نهایی به منظور افزایش دقت حل شبیه سازی عددی، شبکه بندی با دو بلوک معرفی گردید. بر این اساس بلوک اول که شامل ناحیه مخزن و تندآب سرریز می باشد دارای تعداد کل ۳۶۳۰۰ سلول محاسباتی و حداقل ابعاد سلول در این بلوک $4/5 * 1/5 * 2 \text{ cm}$ می باشد. بلوک دوم که شامل ناحیه پرتتاب کننده های جامی مركب می باشد نیز دارای تعداد کل ۸۶۰۰۰ سلول و حداقل ابعاد سلول در این بلوک $2 * 1/3 * 1/3 \text{ cm}$ می باشد. تعداد کل سلول های محاسباتی مدل شبیه سازی در این آزمون برابر ۱۲۲۳۰۰۰ سلول می باشد.

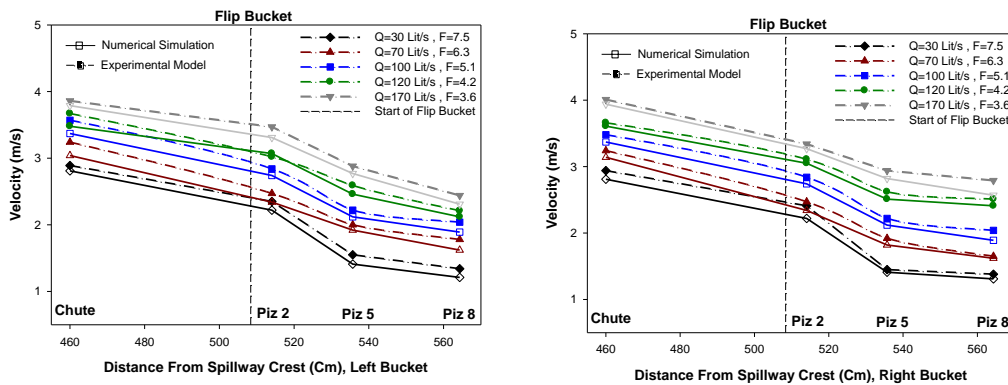
۴. بروزی نتایج شبیه سازی عددی

آزمون نهایی با شرایط مذکور بهترین نتایج ممکن را برای مدل سازی انجام شده، ارائه می دهد و بر همین اساس نتایج خروجی این آزمون در ادامه برای شرایط مختلف جریان ورودی مورد شرح و بررسی قرار می گیرد. نمایی طولی از تغییرات سرعت جریان (Velocity-X) در راستای محور تندآب را به همراه بردارهای سرعت در شکل (۳) نشان داده شده است. این تغییرات سرعت در راستای طولی پرتتاب کننده ها برای هر دو جام چپ و راست برای دبی ۱۷۰ Lit/s استخراج شده است. در این شکل ها تغییرات طولی سرعت برای محورهای مرکزی جام های مركب ارائه شده است.



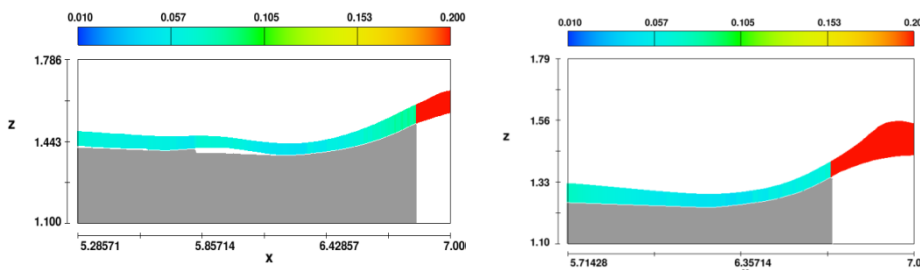
شکل ۳- پروفیل تغییرات طولی سرعت برای محور مرکزی جام های چپ (شکل سمت چپ) و راست (شکل سمت راست)

به منظور بررسی دقیق تغییرات سرعت، نتایج مدل سازی عددی جریان در دبی‌های مختلف و در مقاطع مشخص سرعت جریان استخراج گردید. سرعت جریان بر روی بستر کانال قبل از جام، در محل ورود به جام، قعر جام و در لبه جام در پیزومترهای مقطع ۲، ۵ و ۸ بر طبق شکل (۱) و در راستای طولی محور مرکزی بر روی دو جام با دبی‌های مختلف جام برداشت گردید. نمودارهای تغییرات سرعت جریان به ازای دبی‌های مختلف و در محل‌های مذکور مطابق شکل (۴) می‌باشند. نتایج آزمایشگاهی از تحقیقات انجام شده توسط امین الرعايابی یمینی و کاوینپور (۱۳۹۰) استخراج شده است. در این نمودارها محور X فاصله افقی نقاط اندازه گیری و محور قائم مقادیر سرعت جریان را نمایش می‌دهد.



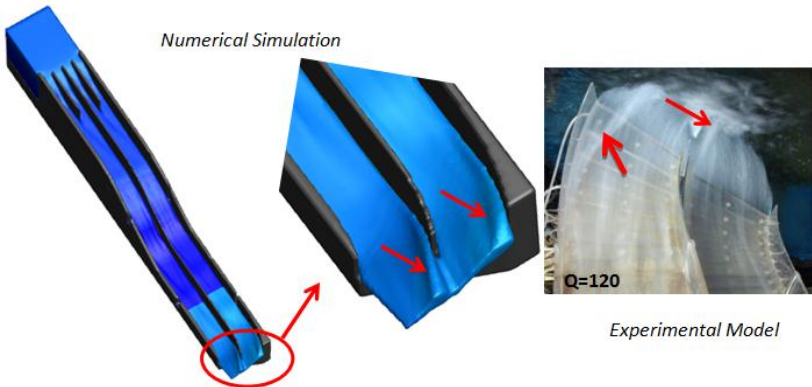
شکل ۴- تغییرات عددی و آزمایشگاهی سرعت در محور مرکزی جام‌های چپ و راست

با توجه به نتایج مدل‌های عددی و آزمایشگاهی ملاحظه می‌شود که سرعت جریان در محور چپ و مرکزی جام‌ها پس از ورود جریان به داخل جام‌ها (Piz 2) به شدت کاهش می‌یابد. ولی در محور راست جام‌ها با توجه به اینکه ارتفاع لبه‌ی جام‌ها در این محور کمتر می‌باشد شدت افت سرعت جریان کمتر می‌باشد. بر اساس نتایج مدل عددی مشاهده می‌شود که خطای شبیه سازی سرعت جریان در مقطع قبل از ورود جریان به داخل جام‌ها ناچیز حداکثر برابر ۶٪ به ازای دبی 100 Lit/s در محور سمت راست جام چپ می‌باشد. بر روی بستر جام‌ها نیز حداکثر خطای شبیه سازی به ازای دبی 100 Lit/s در راست جام سمت راست (Piz 8) به میزان ۱۱٪ می‌باشد. همچنین در محور چپ جام سمت چپ نیز به ازای دبی 170 Lit/s در مقطع ورودی جریان به داخل جام (Piz 2) خطای حداکثر شبیه سازی سرعت حدود ۸٪ می‌باشد. نمودارهای تغییرات عمق متوجه جریان بر روی محور مرکزی هر دو پرتاپ کننده‌های جامی مرکب در راستای طولی به ازای دبی 120 Lit/s در شکل (۵) نمایش داده شده است.



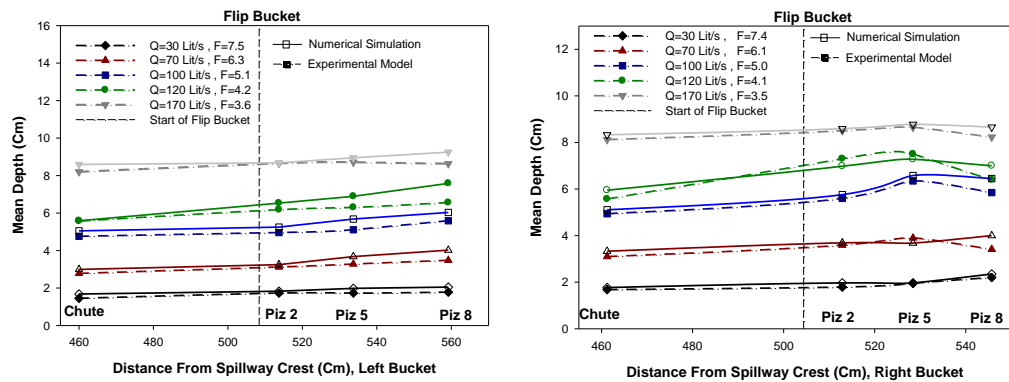
شکل ۵- پروفیل تغییرات طولی عمق جریان بر روی محور مرکزی جام‌های چپ (شکل سمت چپ) و راست (شکل سمت راست)

برطبق نتایج شبیه سازی عمق جریان بر روی بستر پرتاپ کننده‌های جامی برای محور چپ به علت بیشتر بودن ارتفاع لبه جام و شرایط هندسی خاص جام یک جریان برگشتی ایجاد می‌شود و عمق جریان در این محور از قعر جام به بعد افزایش می‌یابد. جریان برگشتی ایجاد شده به ازای دبی 120 Lit/s در شکل (۶) برای مدل‌های آزمایشگاهی و عددی نمایش داده شده است.



شکل ۶- جریان برگشتی ایجاد شده در لبه جام‌های مرکب در مدل‌های آزمایشگاهی و عددی

نتایج حاصل از شبیه سازی عددی نشان می‌دهد که عمق جریان بر روی محور مرکزی پرتاب کننده‌های جامی تغییرات قابل ملاحظه‌ای ندارد و عمق جریان قبل از ورود به جام تا لبه جام تقریباً ثابت است. از طرف دیگر در محور راست پرتاب کننده‌های جامی مرکب و به خصوص در جام سمت راست عمق جریان در قعر جام اندکی افزایش می‌یابد. به منظور بررسی بیشتر تغییرات عمق جریان در دبی‌های مختلف، مقادیر عمق در مقاطع مشخص از مدل آزمایشگاهی با مدل‌سازی عددی مقایسه گردید. در همین راستا عمق جریان بر روی بستر کanal قبل از جام، در محل ورود به جام، قعر جام و در لبه جام در پیزومترهای مقطع ۲، ۵ و ۸ بر طبق شکل (۷) و در هر سه راستای طولی محور مرکزی بر روی دو جام با دبی‌های مختلف برداشت گردید. در این نمودارها محور X فاصله افقی نقاط اندازه گیری و محور قائم مقادیر عمق متوسط جریان را نمایش می‌دهد.

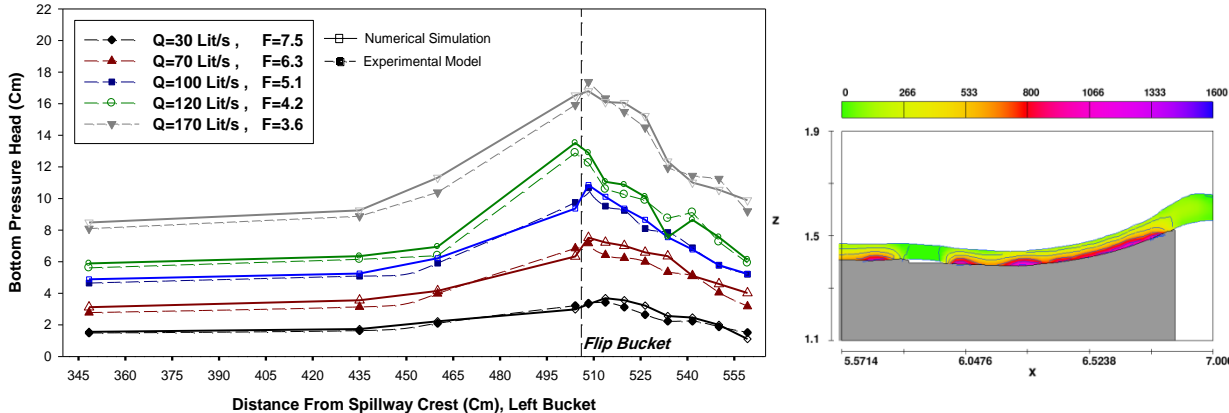


شکل ۷- تغییرات عددی و آزمایشگاهی عمق متوسط جریان در محور مرکزی جام‌های چپ و راست

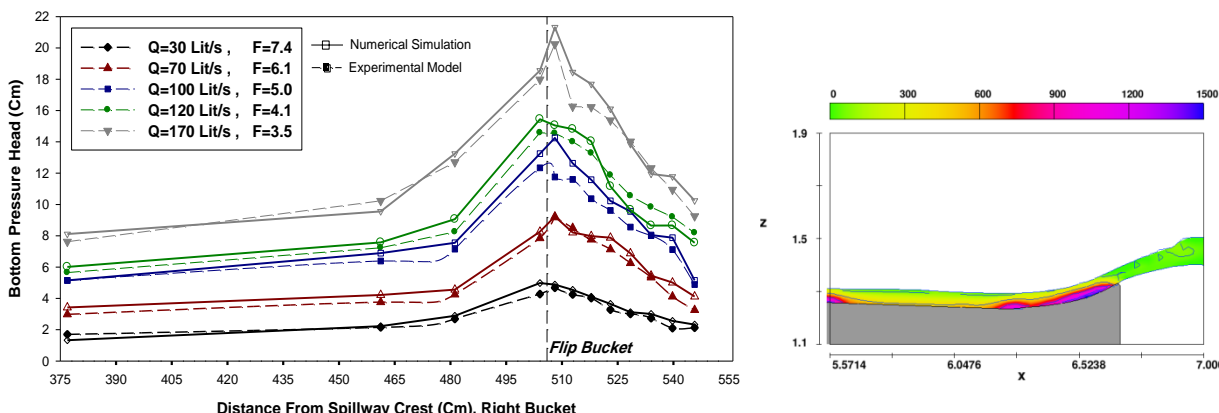
با توجه به آشفتگی شدید جریان به خصوص در دبی‌های بیشتر از 100 Lit/s در محور چپ پرتاب کننده‌های جامی مرکب و به سبب جریان برگشتی ایجاد شده در محور چپ بیشترین خطای شبیه سازی جریان در این محور ایجاد می‌شود. تاثیر ورود هوای درون آب در سرعت‌های بالا و افزایش عمق حاصل از این پدیده در این قسمت حائز اهمیت می‌باشد. با توجه به این نکته، بخشی از این اختلاف بر اثر دقت اندازه گیری پروفیل سطح آب در آزمایشگاه می‌باشد که به صورت چشمی و قاعده‌تاً با خطای بیشتر در مقایسه با سایر مناطق همراه می‌باشد. حداکثر خطا در محور چپ جام‌ها در مقطع ورودی جریان به داخل جام‌ها مربوط به دبی 170 Lit/s در جام سمت راست برابر 12% می‌باشد. در بستر جام‌ها نیز حداکثر خطای شبیه سازی عمق برای دبی 170 Lit/s در قعر جام سمت چپ (Piz 5) برابر 19% می‌باشد. همچنین در جام سمت راست برای دبی 170 Lit/s خطای حداکثر برابر 17% می‌باشد.

نمودارهای توزیع فشار بر روی بستر جام‌ها در محور مرکزی هر دو پرتاب کننده‌های جامی مرکب در راستای طولی به ازای دبی 100 Lit/s در شکل‌های (۸) و (۹) (سمت راست) نشان داده شده است. در همه نتایج شبیه سازی تمرکز فشار در

محل ورود جریان به پرتاب کننده‌های جامی مرکب ($X=6.28\text{ m}$) مشاهده می‌شود، به طوریکه بیشترین مقدار فشار به ازای دبی 100 Lit/s در محور چپ پرتاب کننده جامی مرکب سمت چپ برابر $14/3\text{ cm}$ (معادل ارتفاع ستون آب) می‌باشد. به منظور بررسی بیشتر شبیه‌سازی پارامتر فشار بر روی بستر جام‌ها به ازای دبی‌های مختلف، نمودارهای نتایج عددی با نتایج آزمایشگاهی مورد مقایسه قرار گرفتند (شکل (۸) و (۹)).



شکل ۸- مقایسه عددی و آزمایشگاهی توزیع هد فشار برای محور مرکزی بر روی بستر جام مرکب چپ



شکل ۹- مقایسه عددی و آزمایشگاهی توزیع هد فشار برای محور مرکزی بر روی بستر جام مرکب راست

به دلیل اینکه در محور مرکزی جام‌ها کمترین میزان تغییرات عمق و سرعت رخ می‌دهد مقادیر شبیه‌سازی توزیع فشار روی بستر جام‌ها توسط مدل عددی Flow-3D با بیشترین دقت و نزدیک‌ترین مقادیر به نتایج آزمایشگاهی حاصل شده است. در مقطع قبل از ورودی جریان به داخل جام‌ها حداقل خطا شبیه‌سازی در دبی 170 Lit/s برابر 4% در جام سمت چپ می‌باشد. در مقطع قبل از ورود جریان به جام‌ها نیز در جام سمت راست حداقل خطا برای دبی 120 Lit/s برابر 8% می‌باشد. بر روی بستر جام‌ها نیز حداقل خطا برای دبی 120 Lit/s و 170 Lit/s برابر 12% می‌باشد.

حداقل خطا شبیه‌سازی فشار در مقطع قبل از ورود جریان به داخل جام‌ها و در ناحیه‌ی توزیع فشار استاتیکی برای دبی 170 Lit/s برای جام سمت چپ برابر 13% می‌باشد. پس از آن در مقطع ورودی جریان به داخل جام‌ها خطا شبیه‌سازی فشار بسیار ناچیز و حداقل در حدود 2% می‌باشد. کمترین اختلاف نتایج عددی با نتایج آزمایشگاهی در دبی 30 Lit/s مشاهده می‌شود که علت آن را می‌توان در آشفتگی کمتر جریان در دبی‌های کمتر جستجو نمود. از شبیه‌سازی قسمت فشارهای دینامیکی بر روی بستر جام‌ها نتیجه می‌شود که شبیه‌سازی فشار دینامیکی بر روی بستر جام‌ها در مدل عددی Flow-3D از دقت قابل قبولی برخوردار می‌باشد. در محور چپ و با شکل‌گیری جریان برگشتی و انتقال آن به داخل جریان میزان اختلاف

نتایج عددی و آزمایشگاهی افزایش می یابد که این تغییر در اعداد فرود بیشتر نیز افزایش یافته است. در این نمودارها حداکثر خطای شبیه سازی فشار بر روی بستر جام‌ها در محور چپ جام چپ مربوط به دبی 100 Lit/s که حدوداً برابر ۱۹٪ می‌باشد. حداکثر خطای شبیه سازی جریان در لبه‌ی جام‌ها در محور سمت چپ برای جام سمت راست در دبی 170 Lit/s در حدود ۱۲٪ می‌باشد.

اختلاف مقادیر فشار شبیه سازی شده با مقادیر آزمایشگاهی برای محور راست در جام‌ها قبل از ورود جریان به جام‌ها بسیار ناچیز و حداکثر در حدود ۲٪ می‌باشد. ولی توزیع فشار با توجه به این که زاویه انحراف جام (۷) در این محور برای جام سمت راست بسیار کم و در حدود ۵ درجه می‌باشد انحراف خطوط جریان به منظور ایجاد جت پرتابی شکل نمی‌گیرد و باعث افزایش آشفتگی در این محور جام می‌گردد. آشفتگی ایجاد شده، خطای حداکثری ۱۴٪ شبیه سازی مقادیر فشار حاصل از مدل عددی با نتایج آزمایشگاهی در دبی 170 Lit/s برای جام سمت چپ در مقطع ورودی جریان به جام ایجاد می‌کند. در جام سمت راست نیز به ازای دبی 120 Lit/s در قعر جام خطای حداکثری ۱۶٪ ایجاد می‌شود.

۵. نتیجه‌گیری

در مجموع با تحلیل و بررسی مدل‌های شبیه‌سازی شده توسط مدل عددی Flow-3D و مقایسه نتایج آنها با نتایج مدل آزمایشگاهی به ازای هر سه پارامتر هیدرولیکی توزیع فشار بر روی بستر، سرعت و عمق متوسط جریان و با توجه به مدت زمان شبیه‌سازی‌ها و دقت نتایج حاصل از آنها، می‌توان نتایج ارائه شده را مناسب‌ترین و کالبیره‌ترین مدل جهت شبیه‌سازی مدل هیدرولیکی سریز سد گتوند دانست. دستیابی به چنین مدل کالبیره شده‌ایی می‌تواند به منظور بررسی تغییرات پارامترهای هندسی جام‌های مرکب (انحنای جام، شبیه عرضی بستر، ارتفاع لبه‌ی جام و...) در تحقیقات آتی مورد استفاده قرار گیرد. با توجه به این که مدل عددی Flow-3D به طور ۱۰۰٪ نمی‌تواند ورود هوا را همانند مدل آزمایشگاهی شبیه‌سازی کند، بنابراین نمی‌توان انتظار شبیه سازی میدان جریان منطبق با مدل آزمایشگاهی را داشت. با توجه به این که زاویه انحراف جام (۷) در محور راست برای جام سمت راست بسیار کم و در حدود ۵ درجه می‌باشد انحراف خطوط جریان به منظور ایجاد جت پرتابی شکل نمی‌گیرد و باعث افزایش خطای شبیه سازی در قعر جام‌های مرکب در این محور جام می‌گردد. از شبیه سازی قسمت فشارهای دینامیکی بر روی بستر جام‌ها نتیجه می‌شود که شبیه سازی فشار دینامیکی بر روی بستر جام‌ها در مدل عددی مدل عددی Flow-3D از دقت قابل قبولی برخوردار می‌باشد. به دلیل اینکه در محور مرکزی جام‌ها کمترین میزان تغییرات عمق و سرعت رخ می‌دهد مقادیر شبیه سازی توزیع فشار بر روی بستر جام‌ها با بیشترین دقت و با نزدیک‌ترین مقادیر به نتایج آزمایشگاهی توسط مدل عددی Flow-3D شبیه سازی شده است. البته با استناد به نتایج خروجی را با متوسط خطای توزیع فشار بر روی بستر، ۸٪ سرعت جریان و ۱۱٪ برای عمق جریان در نظر گرفت.

۶. قدردانی

از گروه سازه‌های هیدرولیکی موسسه تحقیقات آب وزارت نیرو به ویژه از جانب آقای مهندس روشن و مهندس خراسانی زاده و شرکت سهامی مدیریت منابع آب (دفتر پژوهش‌های کاربردی) به دلیل همکاری‌های علمی و عملی بسیار تشکر و قدردانی می‌کنم.

۷. مراجع

1- Khatsuria, R. M. (2005). "Hydraulics of spillway and energy dissipaters" Dekker, New York.

2- Parvishi,A.,Shafae Bajestan,M.,Musavi Jahromi,S.H. "Impact Of Lip Angle Of Flip Bucket Energy Dissipater On Scour Hole", 3rd Iasme / Wseas Int. Conf. On Water Resources, Hydraulics & Hydrology (Whh '08), University Of Cambridge, UK, Feb. 23-25, (2008).

۳- امیراصلانی،ش، پیرستانی،م،ر، صالحی نیشابوری، س.ع.ا، "بررسی عددی اثر زاویه اصطکاک داخلی رسوبات بر روی ابعاد چاله آبستنگی ناشی از جت ریزشی آزاد" ، دومین کنفرانس ملی نیروگاههای آبی کشور، تهران، ایران.

۴- اکبری، غ، گیوه جی، م. جمعه بیدختی، ا. سلطانی، ا، (۱۳۹۰)، "مدل سازی عددی جریان بر روی پرتتاب کننده‌های جامی" ، دهمین کنفرانس هیدرولیک ایران، دانشگاه گیلان، رشت، ایران.

۵- میاتور، ی. شکری، ی. خزایی، ج. دستورانی، م، (۱۳۹۰)، "مطالعه عددی مستهلك کننده‌های پرش اسکی با استفاده از مدل‌های چند فازی مختلف" ، دهمین کنفرانس هیدرولیک ایران، دانشگاه گیلان، رشت، ایران.

6- Flow Science, Inc., FLOW-3D User Manual Version 9.3.

۷- گزارش نهایی مدل هیدرولیکی سیستم تخلیه سیلاب سد گتوند علیا، (۱۳۸۷) . موسسه تحقیقات آب، گروه سازه‌های هیدرولیکی، ص ۱۱۱-۱۲۰.

8-Yakhot, V., Orszag, S.A., Thangam, S., Gatski, T.B., & Speziale, C.G., (1992), "Developoment of Turbulence Model for Shear Flow by a Double Expansion Technique", Physics of Fluids A, Vol. 4, No. 7, pp1510-1520.

۹- صباح پزدی، س.ر، شاملو، ح، رستمی، ف، "کاربری اموزشی نرم افزار Flow-3D در بررسی مدل آشفتگی شیوه سازی جریان سه بعدی در حوضچه پرش هیدرولیکی با موانع بتی" ، مجله فناوری و آموزش، سال دوم، جلد ۲ شماره ۴.

۱۰- امین‌الرعايانی یمینی، ا، کاویانپور، م.ر، (۱۳۹۰)، "تحلیل نتایج آزمایشگاهی توزیع فشار دینامیکی بر روی بستر پرتتاب کننده‌های جامی مرکب" ، دهمین کنفرانس هیدرولیک ایران، دانشگاه گیلان، رشت، ایران.